

Wydział MINI	Dzień/godz Data	Środa 14.15 12.03.2025	Nr zespołu 4
Nazwisko i Imię 1. Przeździecka Alicja 2. Skoczyła Katarzyna 3. Zieliński Miłosz	Ocena z przygotowania	Ocena z sprawozdania	Ocena końcowa
Prowadzący		Podpis	

Wstęp

Celem laboratoriów było przeprowadzenie pomiarów i obliczenie odpowiednich niepewności odnoszących się zarówno do pomiarów, jak i wielkości wyliczonych na podstawie zebranych danych. W pierwszej części sprawozdania skupiliśmy się na pomiarach wymiarów prostopadłościennych blaszki i nieregularnego przedmiotu oraz obliczeniu ich objętości, a w drugiej natężenia i napięcia układów z opornikami w celu wyznaczenia charakterystyki prądowo-napięciowej. Do pomiarów wielkości fizycznych użyliśmy śruby mikrometrycznej, suwmiarki, amperomierza cyfrowego i woltomierza analogowego.

Matematyczny opis niepewności

Biorąc pod uwagę obecność niepewności we wszystkich pomiarach, będziemy rozważać dwa typy niepewności: typu A i typu B. Pierwszą z nich będziemy stosować tylko w przypadku pomiarów wielokrotnych. Wyraża się ona wzorem:

$$u_A(\bar{x}) = \sqrt{\frac{\sum_{i=1}^n (x_i - \bar{x})^2}{n \cdot (n-1)}}, \quad (1)$$

gdzie x_i to kolejne pomiary wielkości x , \bar{x} to średnia tych pomiarów, a n to ilość pomiarów x . Natomiast niepewność typu B będzie wyliczana dla każdego pomiaru, ponieważ składa się ona z niepewności wzorcowania Δx (na przykład dla suwmiarki jest to jedna podziałka na noniuszu) oraz niepewności eksperymentatora Δx_E . Wzór niepewności typu B wygląda następująco:

$$u_B(x) = \sqrt{\frac{(\Delta x)^2}{3} + \frac{(\Delta x_E)^2}{3}}, \quad (2)$$

Całkowitą niepewność wyraża się wzorem:

$$u(x) = \sqrt{u_A(x)^2 + u_B(x)^2} \quad (3)$$

1 Ćwiczenie 1

1.1 Cel

Celem pierwszego ćwiczenia jest obliczenie objętości dwóch obiektów: prostopadłościennych blaszek i nieregularnego przedmiotu oraz niepewności wyznaczonych objętości.

W tym celu wykorzystamy wzór na objętość prostopadościanu o wymiarach a , b , c : $V = a \cdot b \cdot c$ oraz skorzystamy z faktu, że objętość nieregularnego przedmiotu z Rysunku 2 można policzyć jako różnicę objętości większego i mniejszego walca: $V = V_d - V_m$. Dodatkowo do wyznaczenia niepewności wyliczonych za pomocą powyższych wzorów objętości będziemy korzystać z metody propagacji niepewności. Wzór ten zależy od ilości zmiennych występujących we wzorze, ale jeśli założymy, że objętość jest funkcją dwóch zmiennych $V = f(a, b)$, to niepewność wyniku będzie następującej postaci:

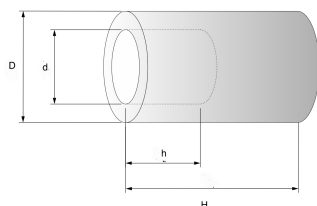
$$u(V) = \sqrt{\left(\frac{\partial f(a, b)}{\partial a} \cdot u(a)\right)^2 + \left(\frac{\partial f(a, b)}{\partial b} \cdot u(b)\right)^2} \quad (4)$$

1.2 Przedmioty i metoda pomiarowa

Pierwszym mierzonym obiektem jest prostokątna blaszka o wymiarach a , b , c zaznaczonych na Rysunku 1. Pomiar wielkości a i b został wykonany pięciokrotnie za pomocą suwmiarki, natomiast wielkość c została zmierzona 10 razy przy pomocy śruby mikrometrycznej. Drugi przedmiot o nieregularnych kształtach składa się z większego walca, który został częściowo wydrążony przez walec o mniejszej średnicy i wysokości. Przedmiot i jego wymiary są zaznaczone na Rysunku 2. Każdy z pomiarów był wykonywany jednokrotnie i przy użyciu suwmiarki.



Rysunek 1: Schemat blaszki.[1]



Rysunek 2: Schemat przedmiotu o nieregularnych kształtach.[1]

Urządzenia wykorzystane do pomiarów były takie same w obu przypadkach i ich niepewności wynosiły kolejno: dla suwmiarki: 0.02 mm i dla śruby mikrometrycznej 0.01 mm.

1.3 Wyniki pomiarów

Tabele 1 i 2 przedstawiają pomiary odpowiednich wielkości zaznaczonych na Rysunku 1 dla blaszki i Rysunku 2 dla nieregularnego przedmiotu.

Nr pomiaru	a [mm]	b [mm]	c [mm]
1	40.00	29.52	3.51
2	39.90	29.38	3.53
3	39.84	29.46	3.57
4	39.82	29.42	3.52
5	39.92	29.40	3.56
6	-	-	3.59
7	-	-	3.58
8	-	-	3.52
9	-	-	3.52
10	-	-	3.53

Tabela 1: Tabela zawierająca pomiary wielkości obiektu pierwszego.

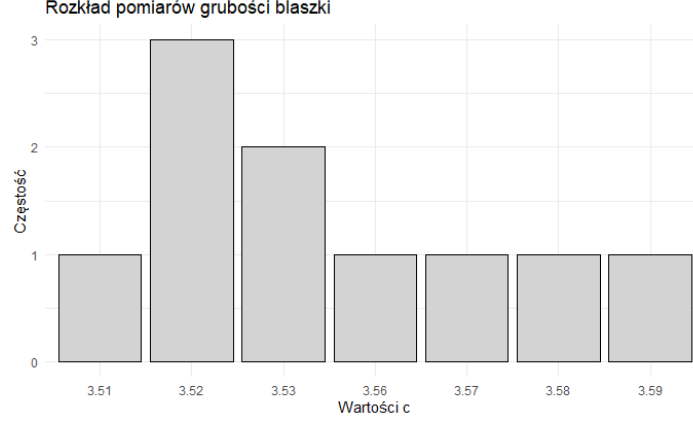
Walec	Średnica [mm]	Wysokość [mm]
Zewnętrzny	30.12	40.00
Wewnętrzny	11.84	20.40

Tabela 2: Tabela zawierająca pomiary wielkości obiektu drugiego.

Ponadto wymiary wielokrotne wymagają wyznaczenia ich średnich.

$$\bar{a} = \frac{\sum_{i=1}^5 a_i}{5} = 39.896 \text{ mm}, \quad \bar{b} = \frac{\sum_{i=1}^5 b_i}{5} = 29.436 \text{ mm}, \quad \bar{c} = \frac{\sum_{i=1}^{10} c_i}{10} = 3.543 \text{ mm} \quad (5)$$

Spójrzmy również na rozkład pomiarów grubości blaszki (czyli wymiaru c z Rysunku 1).



Rysunek 3: Rozkład pomiaru grubości płytki c .

1.4 Opracowanie pomiarów dla blaszki

Szukana objętość blaszki wyraża się wzorem:

$$V = \bar{a} \cdot \bar{b} \cdot \bar{c}, \quad (6)$$

gdzie \bar{a} , \bar{b} , \bar{c} to średnie (5) wyliczone powyżej

Podstawiając średnie do wzoru dostajemy wynik:

$$V = 39.896 \cdot 29.436 \cdot 3.543 = 4160.824 \text{ mm}^3. \quad (7)$$

Pomiary blaszki były wykonywane wielokrotnie z tego powodu wszystkie pomiary są obarczone niepewnościami typu A i B. Niepewności eksperymentatora są rzędu jednej podziałki dla każdego pomiaru. Niepewności typu B są takie same dla wielkości a i b oraz wynoszą:

$$u_B(\bar{a}) = u_B(\bar{b}) = \sqrt{\frac{\Delta a^2}{3} + \frac{\Delta a_E^2}{3}} = \sqrt{\frac{\Delta b^2}{3} + \frac{\Delta b_E^2}{3}} = 0.01632993 \text{ mm}, \quad (8)$$

gdzie $\Delta a = \Delta b = 0.02 \text{ mm}$ oraz $\Delta a_e = \Delta b_e = 0.02 \text{ mm}$

Niepewność typu B dla wielkości c wynosi:

$$u_B(\bar{c}) = \sqrt{\frac{\Delta c^2}{3} + \frac{\Delta c_e^2}{3}} = 0.008164966 \text{ mm}, \quad (9)$$

gdzie $\Delta c = \Delta c_e = 0.01 \text{ mm}$

Niepewności typu A są różne w każdym przypadku, ponieważ zależą od konkretnych pomiarów i wynoszą kolejno:

$$u_A(\bar{a}) = \sqrt{\frac{\sum_{i=1}^5 (a_i - \bar{a})^2}{5 \cdot (5 - 1)}} = 0.03187475 \text{ mm} \quad (10)$$

$$u_A(\bar{b}) = \sqrt{\frac{\sum_{i=1}^5 (b_i - \bar{b})^2}{5 \cdot (5 - 1)}} = 0.02481935 \text{ mm} \quad (11)$$

$$u_A(\bar{c}) = \sqrt{\frac{\sum_{i=1}^5 (c_i - \bar{c})^2}{10 \cdot (10 - 1)}} = 0.009195409 \text{ mm} \quad (12)$$

Zestawiając powyższe wartości otrzymujemy niepewności całkowite dla każdej zmierzonej wielkości:

$$u_{\text{całkowite}}(\bar{a}) = \sqrt{u_A^2(\bar{a}) + u_B^2(\bar{a})} = 0.03581434 \text{ mm} \quad (13)$$

$$u_{\text{całkowite}}(\bar{b}) = \sqrt{u_A^2(\bar{b}) + u_B^2(\bar{b})} = 0.02970971 \text{ mm} \quad (14)$$

$$u_{\text{całkowite}}(\bar{c}) = \sqrt{u_A^2(\bar{c}) + u_B^2(\bar{c})} = 0.01229724 \text{ mm} \quad (15)$$

Zatem podsumowując z niepewnościami wymiary wynoszą kolejno:

$a = 39.896(36) \text{ mm}$, $b = 29.436(30) \text{ mm}$, $c = 3.543(12) \text{ mm}$.

Przechodząc do interesującej nas niepewności wartości objętości wyliczonej za pomocą wzoru (7) korzystamy z metody propagacji niepewności, której wzór w tym przypadku jest postaci:

$$u(V) = \sqrt{\left(\frac{\partial V}{\partial \bar{a}} \cdot u(\bar{a})\right)^2 + \left(\frac{\partial V}{\partial \bar{b}} \cdot u(\bar{b})\right)^2 + \left(\frac{\partial V}{\partial \bar{c}} \cdot u(\bar{c})\right)^2}, \quad (16)$$

Po policzeniu pochodnych otrzymujemy postać:

$$u(V) = \sqrt{(\bar{b} \cdot \bar{c} \cdot u(\bar{a}))^2 + (\bar{a} \cdot \bar{c} \cdot u(\bar{b}))^2 + (\bar{a} \cdot \bar{b} \cdot u(\bar{c}))^2} \quad (17)$$

i stąd po wstawieniu danych otrzymujemy niepewność $u(V) = 15 \text{ mm}^3$. Ostateczna objętość wynosi zatem $V = 4160(15) [\text{mm}]^3$.

1.5 Opracowanie pomiarów nieregularnego przedmiotu

Szukana objętość przedmiotu z Rysunku 2 to różnica objętości większego i mniejszego walca, czyli $V = V_d - V_m$, gdzie V_d, V_m to odpowiednie objętości.

Policzmy niepewności pomiarów. Pomiary były wykonywane jednokrotnie za pomocą suwmiarki o niepewności 0.02 mm i z tego powodu każda z wielkości ma tylko niepewność typu B równą niepewności całkowitej. Ponadto jest ona taka sama dla wysokości i średnicy obu obiektów.

$$u_{\text{całkowite}}(D) = \dots = \sqrt{\frac{\Delta D^2}{3} + \frac{\Delta D_e^2}{3}} = \dots, \text{ gdzie } \Delta D = \Delta D_e = 0.02 \text{ mm} \quad (18)$$

Stąd otrzymujemy, że niepewność całkowita każdej wielkości wynosi 0.01632993 mm.

Policzmy objętości.

$$V_d = \pi \cdot \left(\frac{D}{2}\right)^2 \cdot H, \text{ gdzie } D \text{ to średnica podstawy dużego walca, a } H \text{ to jego wysokość} \quad (19)$$

$$V_m = \pi \cdot \left(\frac{d}{2}\right)^2 \cdot h, \text{ gdzie } d \text{ to średnica podstawy małego walca, a } h \text{ to jego wysokość} \quad (20)$$

Korzystając z wartości z Tabeli 2 otrzymujemy: $V_d = 28500.981 \text{ mm}^3$, $V_m = 2246.071 \text{ mm}^3$ oraz finalnie objętość interesującego nas przedmiotu $V = 26254.910 \text{ mm}^3$.

Pozostało wyliczyć niepewności wartości objętości oraz niepewność wynikową. W tym przypadku korzystamy z metody propagacji opisanej wzorem (4), który w tym przypadku jest postaci:

$$u(V_d) = \sqrt{\left(\frac{\partial V_d}{\partial D} \cdot u(D)\right)^2 + \left(\frac{\partial V_d}{\partial H} \cdot u(H)\right)^2} \quad (21)$$

$$u(V_d) = \sqrt{\left(\frac{\pi \cdot D \cdot H}{2} \cdot u(D)\right)^2 + \left(\frac{\pi \cdot D^2}{4} \cdot u(H)\right)^2} \quad (22)$$

Po podstawieniu otrzymujemy: $u(V_d) = 31.092 \text{ mm}^3$.

Analogicznie postępujemy w przypadku objętości mniejszego walca V_m :

$$u(V_m) = \sqrt{\left(\frac{\pi \cdot d \cdot h}{2} \cdot u(d)\right)^2 + \left(\frac{\pi \cdot d^2}{4} \cdot u(h)\right)^2} \quad (23)$$

i po podstawieniu otrzymujemy: $u(V_m) = 6.339 \text{ mm}^3$.

Całkowita niepewność objętości V wyliczona za pomocą wzoru $u(V) = \sqrt{u(V_d)^2 + u(V_m)^2}$ wynosi $u(V) = 31.732 \text{ mm}^3$. Ostateczny wynik po zaokrągleniu niedokładności do dwóch miejsc znaczących wynosi: $V = 26254(31) \text{ mm}^3$.

1.6 Wyniki

Na podstawie opracowanych powyżej wyników i niepewności pomiarowych objętości badanych przedmiotów wynoszą odpowiednio:

$$V_{\text{blaszki}} = 4160(15) \text{ mm}^3$$

$$V_{\text{wyciętego walca}} = 26254(31) \text{ mm}^3$$

Mniejsza niepewność wyniku w przypadku blaszki może wynikać z dwukrotnie większej dokładności pomiaru śruby mikrometrycznej od suwmiarki, którą były wykonane wszystkie pomiary drugiego przedmiotu.

2 Ćwiczenie 2

2.1 Cel

Celem ćwiczenia jest wyznaczenie wartości oporów czterech oporników. Dla oporników R1, R2 i R3 szacujemy złożone niepewności standardowe metodą propagacji niepewności. Wartości ich oporów wyznaczamy ze wzoru

$$R = \frac{U}{I}, \quad (24)$$

który jest konsekwencją prawa Ohma.

W przypadku opornika R4 zastosowaliśmy opisaną poniżej metodę najmniejszych kwadratów (MNK). Wiemy, że punkty pomiarowe są powiązane zależnością funkcyjną:

$$y = ax_i + b \quad (25)$$

Metoda najmniejszych kwadratów znajduje najbardziej prawdopodobne wartości parametrów, dla których suma kwadratów odchyłeń będzie najmniejsza[2]:

$$\sum_{i=q}^N [y_i - (ax_i + b)]^2 = \min \quad (26)$$

Niezależne pomiary natężenia i napięcia (I_i, U_i) wykonano na tym samym oporniku. Punkty pomiarowe są powiązane zależnością funkcyjną:

$$y = f(x, a) = ax, \quad \text{bo} \quad U = RI \quad (27)$$

Można zatem zastosować MNK. Wartość współczynnika kierunkowego (w naszym przypadku oporu) można wyliczyć ze wzoru[2]:

$$a = \frac{N \sum_{i=1}^N x_i y_i - \sum_{i=1}^N x_i \sum_{i=1}^N y_i}{N \sum_{i=1}^N x_i^2 - \left(\sum_{i=1}^N x_i\right)^2}, \quad (28)$$

gdzie N to liczba wykonanych pomiarów, x_i i y_i to kolejne zmierzone wartości natężenia i napięcia. Wzór ten stosowany jest do zależności typu $y = ax + b$, jednak zastosowaliśmy go, gdyż dawało to bezpieczniejsze przedziały niepewności. Do wyliczenia wartości współczynnika b użyjemy wzoru[2]:

$$b = \frac{\sum_{i=1}^N x_i^2 \sum_{i=1}^N y_i - \sum_{i=1}^N x_i \sum_{i=1}^N x_i y_i}{N \sum_{i=1}^N x_i^2 - \left(\sum_{i=1}^N x_i \right)^2} \quad (29)$$

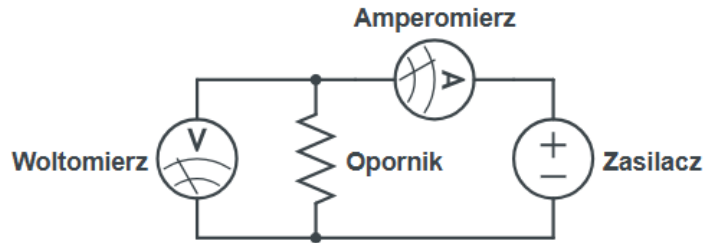
Będzie on potrzebny przy wyliczaniu niepewności wartości a.

2.2 Układ pomiarowy

Wartości natężenia oraz napięcia na opornikach R1, R2 i R3 były mierzone jednokrotnie. W przypadku obwodu z opornikiem R4 pomiar powtórzyliśmy piętnastokrotnie, zmieniając wartość napięcia na zasilaczu.

Urządzenia wykorzystane do pomiarów były takie same w obu przypadkach - analogowy woltomierz i cyfrowy amperomierz. Błędy pomiarów tych urządzeń zależą od ich klasy, zakresu oraz w przypadku amperomierza także odczytanej wartości. Dokładne informacje podamy w sekcji opracowywania pomiarów.

Schemat układu przedstawiony poniżej na Rysunku 4.



Rysunek 4: Schemat układu pomiarowego.

2.3 Wyniki pomiarów

Poniżej znajdują się tabele pomiarów dla wspomnianych wcześniej oporników R1, R2, R3 - Tabela 3 oraz R4 - Tabela 4.

Nr Opornika	Napięcie [V]	Natężenie [mA]
1	3,8	67,7
2	4,4	45,5
3	4,2	43,2

Tabela 3: Wyniki pomiarów napięcia i natężenia obwodu z opornikami R1, R2 i R3.

Nr pomiaru	Napięcie [V]	Natężenie [mA]
1	2,4	6,48
2	2,6	6,91
3	3,0	7,80
4	3,4	8,90
5	3,6	9,87
6	4,2	11,08
7	4,8	12,58
8	5,0	13,37
9	5,5	14,68
10	5,8	15,46
11	6,2	16,49
12	6,3	16,76
13	6,8	18,13
14	7,0	18,73
15	7,2	19,04

Tabela 4: Wyniki pomiarów napięcia i natężenia obwodu z opornikiem R4.

2.4 Opracowanie pomiarów oraz analiza niepewności pomiarów

Do pomiarów wykorzystaliśmy:

- miernik uniwersalny UM-112B (jako woltomierz) o klasie 1 na zakresie 10V (w każdym pomiarze)
- cyfrowy miernik uniwersalny M-3800 (jako amperomierz) o następujących klasach na wykorzystywanych zakresach:
 - dla R1, R2, R3 zakres 200 mA: $\pm 1,2\%$ rdg ± 1 dgt
 - dla R4 zakres 20 mA: $\pm 0,5\%$ rdg ± 1 dgt

2.4.1 Opracowanie pomiarów dla R1, R2, R3

Pomiary były wykonywane jednokrotnie, dlatego są one obarczone tylko niepewnościami typu B. W przypadku amperomierza cyfrowego zależy ona zarówno od zakresu jak i od wartości zmierzonej. Wyraża się ona wzorem:

$$u_B(I) = \frac{\Delta x}{\sqrt{3}} = \frac{c_1 x + c_2 z}{\sqrt{3}}, \quad (30)$$

gdzie x i z to wartość zmierzona i zakres pomiarowy, a c_1 i c_2 to parametry zależne od klasy – w naszym przypadku $c_1 = 1,2\%$ oraz $c_2 = 0,1mA$.

W przypadku woltomierza analogowego nie zależy ona od wartości zmierzonej, a jedynie od klasy i zakresu. Niepewność wzorcowania wyraża się wzorem:

$$\Delta U = \frac{\text{klasa} \cdot \text{zakres}}{100} \quad (31)$$

Musimy także pamiętać o niepewności eksperymentatora, która jest rzędu jednej podziałki, czyli 0,2 V. Stąd dla napięcia niepewność typu B dla każdego z oporników wynosi:

$$u_B(U) = \sqrt{\frac{\Delta U^2}{3} + \frac{\Delta U_e^2}{3}} = 0,13 \text{ V}, \quad (32)$$

gdzie $\Delta U = 0,058 \text{ V}$ oraz $\Delta U_e = 0,2 \text{ V}$

Do obliczenia oporów skorzystamy z wzoru (24).

Szacujemy złożone niepewności standardowe metodą propagacji niepewności. Liczona jest ona ze wzoru:

$$u(R) = \sqrt{\left(\frac{\partial R}{\partial U} \cdot u(U)\right)^2 + \left(\frac{\partial R}{\partial I} \cdot u(I)\right)^2} \quad (33)$$

Po rozwiązaniu pochodnych otrzymujemy postać:

$$u(R) = \sqrt{\left(\frac{1}{I} \cdot u(U)\right)^2 + \left(\frac{-U}{I^2} \cdot u(I)\right)^2} \quad (34)$$

Podstawiając do wzoru odpowiednie wartości dostajemy następujące wyniki wszystkich opisanych powyżej niepewności przedstawione w Tabeli 5.

Nr Opornika	Napięcie [V] (niepewność)	Natężenie [mA] (niepewność)	Opór [Ω] (niepewność)
1	3,80(13)	67,70(53)	56,13(2,0)
2	4,40(13)	45,50(37)	96,7(2,9)
3	4,20(13)	43,20(36)	97,2(3,1)

Tabela 5: Obliczone wartości oporów R1, R2 i R3 oraz niepewności wszystkich wielkości.

2.4.2 Opracowanie pomiarów dla R4

Częścią tego zadania było porównanie wyników niepewności losowego pojedynczego pomiaru z metodą najmniejszych kwadratów. W pierwszym etapie wyliczyliśmy niepewność dla pomiaru numer 9 w taki sam sposób jak w części 2.4.1, czyli biorąc pod uwagę tylko niepewność typu B. Niepewność w przypadku amperomierza cyfrowego wyraża się wzorem:

$$u_B(I) = \frac{\Delta x}{\sqrt{3}} = \frac{c_1 x + c_2 z}{\sqrt{3}}, \quad (35)$$

gdzie x i z to wartość zmierzona i zakres pomiarowy, a c_1 i c_2 to parametry zależne od klasy – w naszym przypadku $c_1 = 0,5\%$ oraz $c_2 = 0,01 \text{ mA}$. Zatem

$$u_B(I_9) = 0,048 \text{ mA} \quad (36)$$

W przypadku woltomierza analogowego niepewność typu B wyniesie tyle samo co w obliczeniach 2.4.1, czyli:

$$u_B(U) = 0,13 \text{ V} \quad (37)$$

Wartość oporu dla pomiaru 9 można policzyć korzystając ze wzoru (24):

$$R_9 = \frac{U_9}{I_9} = 374,7 \text{ } \Omega \quad (38)$$

Wartość niepewności oporu wyliczymy korzystając ze wzoru (33)

$$u(R) = \sqrt{\left(\frac{1}{I_9} \cdot u(U)\right)^2 + \left(\frac{-U_9}{I_9^2} \cdot u(I)\right)^2} = 8,9 \text{ } \Omega \quad (39)$$

Do obliczenia wartości oporu metodą najmniejszych kwadratów korzystamy ze wzoru (28).

$$R = \frac{15 \sum_{i=1}^{15} I_i U_i - \sum_{i=1}^{15} I_i \sum_{i=1}^{15} U_i}{15 \sum_{i=1}^{15} I_i^2 - \left(\sum_{i=1}^{15} I_i\right)^2} = 375,1 \text{ } \Omega, \quad (40)$$

gdzie I_i oraz U_i to kolejne zmierzone wartości natężenia i napięcia

Aby wyliczyć błąd tego przybliżenia należy policzyć jeszcze współczynnik b . Teoretycznie powinien wynosić on zero, jednak przy naszych obliczeniach tyle on nie wynosi, dlatego go uwzględniamy. Podstawiając do wzoru (29):

$$b = \frac{\sum_{i=1}^{15} I_i^2 \sum_{i=1}^{15} U_i - \sum_{i=1}^{15} I_i \sum_{i=1}^{15} I_i U_i}{15 \sum_{i=1}^{15} I_i^2 - \left(\sum_{i=1}^{15} I_i\right)^2} = 0,01 \text{ } \Omega \quad (41)$$

Wzór na niepewność wartości współczynnika a (oporu)5:

$$s_a = \sqrt{\frac{\frac{N}{N-2} \sum_{i=1}^N (y_i - \bar{a}x_i - \bar{b})^2}{N \sum_{i=1}^N x_i^2 - \left(\sum_{i=1}^N x_i\right)^2}} \quad (42)$$

W naszym przypadku:

$$s_a = u(R) = \sqrt{\frac{\frac{15}{13} \sum_{i=1}^{15} (U_i - RI_i - b)^2}{15 \sum_{i=1}^{15} I_i^2 - \left(\sum_{i=1}^{15} I_i\right)^2}} = 3,0 \, \Omega \quad (43)$$

2.5 Wyniki

Na podstawie opracowanych powyżej wyników i niepewności pomiarowych opory badanych oporników wynoszą odpowiednio:

$$R_1 = 56,13(2,0) \, \Omega$$

$$R_2 = 96,7(2,9) \, \Omega$$

$$R_3 = 97,2(3,1) \, \Omega$$

$$R_4 = 374,7(8,9) \, \Omega$$

Dla pojedynczego pomiaru.

$$R_4 = 375,1(3,0) \, \Omega$$

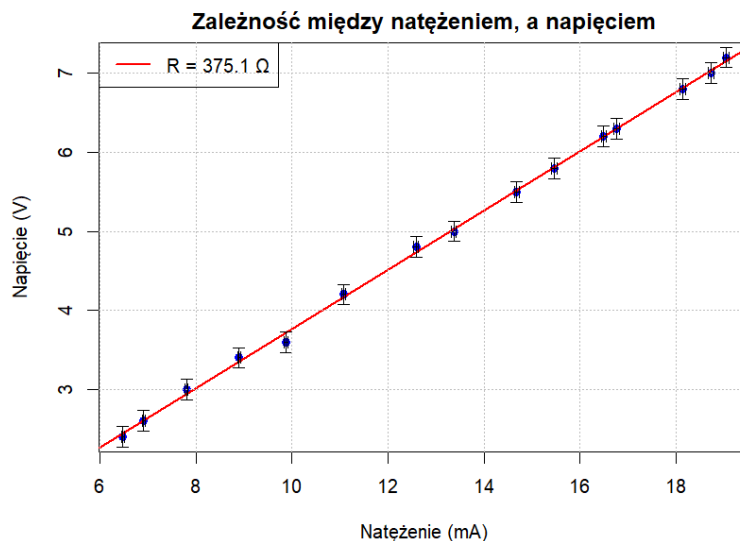
Z wykorzystaniem MNK.

Można zobaczyć, iż w przypadku metody najmniejszych kwadratów błąd jest prawie 3 razy mniejszy niż błąd dla pojedynczego pomiaru numer 9. Poniżej znajduje się tabela zawierająca wyniki wszystkich pomiarów natężenia i napięcia, jednak zawierająca również wyliczone niepewności pomiarowe dla każdego pojedynczego pomiaru.

Nr pomiaru	Napięcie [V] (niepewność)	Natężenie [mA] (niepewność)
1	2,40(13)	6,48(7)
2	2,60(13)	6,91(8)
3	3,00(13)	7,80(9)
4	3,40(13)	8,90(11)
5	3,60(13)	9,87(12)
6	4,20(13)	11,08(13)
7	4,80(13)	12,58(15)
8	5,00(13)	13,37(16)
9	5,50(13)	14,68(18)
10	5,80(13)	15,46(19)
11	6,20(13)	16,49(20)
12	6,30(13)	16,76(20)
13	6,80(13)	18,13(22)
14	7,00(13)	18,73(22)
15	7,20(13)	19,04(23)

Tabela 6: Wyniki pomiarów napięcia i natężenia obwodu z opornikiem R4.

Wyniki w formie graficznej, wykonane przy pomocy języka R, możemy zobaczyć na Rysunku 5.



Rysunek 5: Uzyskane pomiary opornika R4 wraz z niepewnościami.

Podsumowanie

Podsumowując, celem tych ćwiczeń było przeprowadzenie pomiarów różnych wielkości fizycznych i wyznaczenie niepewności pomiarowych. Udało nam się obliczyć objętości blaszki i nieregularnego przedmiotu oraz wyznaczyć opory czterech oporników.

Literatura

- [1] Autor nieznany. cw 1a pomiar wielkości geometrycznych. *Centralne Laboratorium Fizyki*.
- [2] Autor nieznany. Wykład wstępny. *Centralne Laboratorium Fizyki*.

Wkład poszczególnych osób w wykonanie ćwiczenia:

1. Katarzyna Skoczylas: opracowanie wyników dla oporników R1, R2 i R3
2. Alicja Przeździecka: opracowanie wyników dla blaszki i walca
3. Miłosz Zieliński: opracowanie wyników dla opornika R4